

УДК 577.475

Л. С. С В Е Т Л И Ч Н Ы Й, Б. В. К У Р Б А Т О В

## ЭФФЕКТИВНОСТЬ ЛОКОМОЦИИ КОПЕПОД ПРИ ДВИЖЕНИИ С ПОМОЩЬЮ АНТЕНН

Исследована зависимость силы сопротивления антенн Calanus helgolandicus от угловой скорости при рабочем и возвратном движении. Получена зависимость гидромеханического коэффициента полезного действия  $\eta_t$  от скорости, относительных размеров антенн и вязкости воды. При увеличении скорости и размеров раков  $\eta_t$  уменьшается. Диапазон изменения  $\eta_t$  для вероятных условий движения копепод составляет приблизительно 2–9%. Рассчитаны полные коэффициенты полезного действия  $\eta_p$ , которые при увеличении скорости возрастают, несмотря на уменьшение  $\eta_t$ . Для рака размером 0,35 см при увеличении скорости в 4 раза от 0,25 ее максимальной величины  $\eta_t$  возрастает от 0,57 до 1,2%.

Широко известны многочисленные гидродинамические исследования нектона [1, 2, 12], в то же время локомоция и энергетика планктонных организмов изучается не так интенсивно [11, 13–15, 17, 18]. До настоящего времени нет инструментальных измерений, позволяющих оценить коэффициент полезного действия движительной системы копепод. А этот показатель является одним из основных в расчетах энерготрат организмов на движение, при биомеханических и производственных определениях.

В связи с этим в настоящей работе на основании экспериментальных данных с использованием результатов наблюдений и литературных сведений произведена оценка эффективности антенн Calanus helgolandicus как движителя и найдены зависимости показателя их эффективности от таких основных физических параметров, как размеры и скорость движителя, температура среды и др.

Эффективность движения животных принято оценивать по коэффициенту полезного действия ( $\eta$ ), характеризующему величиной отношения полезной, необходимой для передвижения работы к общим энергозатратам организма на движение. Синхронные измерения интенсивности обмена, совершаемой работы и величины полезных энергозатрат весьма затруднительны, а в случае с планктонными животными осложняются их малыми размерами. Экспериментальные определения активного обмена копепод по интенсивности дыхания, как нам известно, до настоящего времени не выполнялись [6]. В нашем исследовании эффективность антенн как движителя оценивалась при помощи моделирования процессов локомоции.

На основании модельных испытаний находилась функциональная зависимость коэффициента гидродинамического сопротивления модели ( $\xi$ ) от числа Рейнольдса (Re). Вычислялась сила полного гидродинамического сопротивления и по литературным данным — животного в целом. Находился гидродинамический  $\eta_t$ , величина которого исследовалась в зависимости от размеров организмов, относительных размеров антенн, скорости движения раков и температуры среды. Кроме того, с использованием литературных данных о биологическом  $\eta_b$  определялись суммарный  $\eta_p$  и зависимость его величины от некоторых физических параметров.

Расчеты выполнялись с учетом следующих допущений. Движение рачка равномерное и происходит только за счет работы антенн. Антенны перемещаются по эллиптическим траекториям. При таких условиях задача сводится к определению силы полного сопротивления тела и антенн при рабочем и возвратном их движении. Общее гидродинамическое сопротивление тела рачка принято по результатам исследования моделей *Calanus helgolandicus* [19].

Для определения сопротивления антенн была изготовлена модель из органического стекла и пластмасс с точным соблюдением всех пропорций и особенностей строения оригинала. Буксировочные испытания проводились на специально построенном стенде, состоящем из прямоугольной емкости  $45 \times 45 \times 35$  см, рычажно-измерительной системы, обеспечивающей исследование эллиптического движения модели, и усилиительно-регистрирующей аппаратуры. В качестве рабочих жидкостей использовались глицерин, автомобильное масло и вода. Подбор вязкости жидкости и соответствующих скоростей движения модели позволили добиться полного гидродинамического подобия с процессами локомоции живых рачков. Во время испытаний сопротивление модели измерялось в двух положениях: рабочем и возвратном.

При моделировании работы антенн мы руководствовались материалами собственных наблюдений, фотокиносъемок, измерений и сведениями из публикаций, касающихся локомоции копепод, которые можно свести к следующему. Плавное продвижение рачков вперед сопровождается метахронным движением антенн, мандибул и максилл с частотой около 600 ударов в минуту [21]. По-видимому, антенны выполняют главенствующую роль в продвижении рачка вперед, так как их относительная величина и амплитуда движений больше, чем у других ротовых конечностей [9]. Движение конечностей наружу и назад, по мнению Кеннаона [20], ускоренное и заканчивается более медленным возвращением их в исходное положение. При этом эффективность гребка достигается изменением положения ветвей конечности и их опущения при рабочем и возвратном движениях [8, 19]. По мнению Петипа [15], вращение ротовых конечностей происходит снаружи и спереди к телу рачка. Лаундес [24], не обнаружив метахронного ритма, отмечает способность левой и правой антенн при вращении находиться в разных фазах. По его наблюдениям частота биения антенн достигает 1200 ударов в минуту. Очевидно, это не предельная величина, так как, по данным Ури [25], антенны *Pseudocalanus elongatus* вибрируют с частотой 1890—2580 циклов в минуту. Вслед за Кеннаоном [20] многие авторы признают, что антенны совершают движения по эллиптическим траекториям. По мнению Лаундеса [24], антенны совершают колебательные «пропеллеровидные» движения, при этом протоподит поворачивается на  $90^\circ$  относительно тела, а дистальный членник экзоподита — почти на  $180^\circ$ . Голд [22] считает, что во время эффективного толчка экзоподита протоподит совершает возвратный удар, чем достигается непрерывное поступательное движение. Это согласуется с данными Лаундеса, так как совершенно очевидно, что при повороте протоподита вокруг оси ветви антены переместятся относительно тела в разных направлениях. Однако в таком случае как прямое, так и возвратное движение членников антены должно происходить с одной скоростью, что противоречит наблюдениям Кеннаона. По-видимому, движение антенн многообразно, что связано с изменчивостью режима движения рачка. При этом максимальная функциональная эффективность антенн достигается изменением их положения относительно тела, траектории и амплитуды движения их членников. В связи с этим следует иметь в виду, что предпринятое нами моделирование работы антенн является лишь грубым приближением, однако это не является препятствием для выявления общих закономерностей изменения эффективности антенн при различных режимах движения.

На рис. 1 показана зависимость силы гидродинамического сопротивления тела и антенн *C. helgolandicus* при рабочем и возвратном движении от числа Рейнольдса. Эти данные использованы для расчета коэффициента полезного действия антенн при скользящем равномерном движении раков по формуле [3].

$$\eta_t = \frac{v_t R_t}{2u(R_p + R_b)}, \quad (1)$$

где  $v_t$  — скорости движения рака;  $u$  — скорость вращения антенн относительно тела, одинаковая при рабочем и возвратном движении;  $R_t$  — сила сопротивления рака с расправленаими антеннаами;  $R_p$  — сила сопротивления при рабочем движении антенн,  $R_b$  — при возвратном.

Результаты расчетов представлены на рис. 2 в виде графической зависимости  $\eta_t$  от скорости движения и размеров организма. Как видим, при возрастании скорости движения в 10 раз  $\eta$  антены отдельного организма уменьшается примерно в 1,5 раза. Причем чем больше скорость, тем меньше относительное изменение  $\eta_t$ . Изменение  $\eta_t$  в зависимости от размеров организмов оказалось намного большим (~в 3 раза), а график этой зависимости при одной скорости выглядит в логарифмических шкалах как прямая линия, которую можно аппроксимировать как  $\eta_t = k/L^n$ , где  $n=f(v)$ ,  $k=f(v)$ . Эти функции описываются уравнениями  $K=0,01/v + 0,049$  и  $n=0,35[1-e^{-(1+0,75v)}]$ .

Тогда

$$\eta_t = \frac{0,01/v + 0,049}{L^{0,35[1-e^{-(1+0,75v)}]}}. \quad (2)$$

Примечательно, что отношение скорости движения антены и тела отдельной особи, так же как и отношение скоростей рабочего и возвратного движения антенн относительно воды, в пределах исследованной размерной группы копепод (0,044—1,05 см) изменяется очень мало, соответственно в 2,4—2,8 и 0,44—0,47 раза. Мы можем рассчитать также частоту вибрации антенн. Ее зависимость от скорости и размеров организма показана на рис. 3.

Отмеченные закономерности справедливы при участии одной пары антенн. Рассмотрим, как будет изменяться  $\eta$  и частота биения конечностей ( $\omega$ ) в зависимости от их количества. При увеличении числа конечностей частота их движения уменьшится. Например, при постоянной скорости 4 см·с<sup>-1</sup> и одной паре конечностей  $\omega=27,0$  Гц, тогда как при трех парах таких же конечностей  $\omega=24,4$  Гц; в то же время  $\eta_t$  изменится от 3,5 до 1,5%. Это указывает на то, что увеличение числа конечностей приводит к снижению их суммарной эффективности, на основании чего можно сделать вывод о специализации ротовых конечностей каланид (кроме антенналов) главным образом к обеспечению организма пищей. Об этом же свидетельствует также частичная редукция ротового аппарата у некоторых непитающихся взрослых особей копепод [9].

К сожалению, возможности подтверждения наших расчетов экспериментальными данными ограничены. Мы располагаем только величиной максимальной частоты вибрации антенн *C. helgolandicus* [24], которая равна примерно 20 Гц. По нашим расчетам, при скорости 4 см·с<sup>-1</sup>, которую можно считать близкой максимальной,  $\omega=24 \div 27$  Гц. Таким образом, с экспериментальными данными различие небольшое.

В последнее время в связи с уточнением статуса рода *Calanus* [5, 7] особое внимание уделяется связи признаков вида с условиями его обитания. Так, Бродским [5] показана зависимость изменчивости строения различных частей тела *Calanus* от широтных зон Мирового океана. Вышкварцева [7], изучая морфологию ротовых конечностей каланусов,

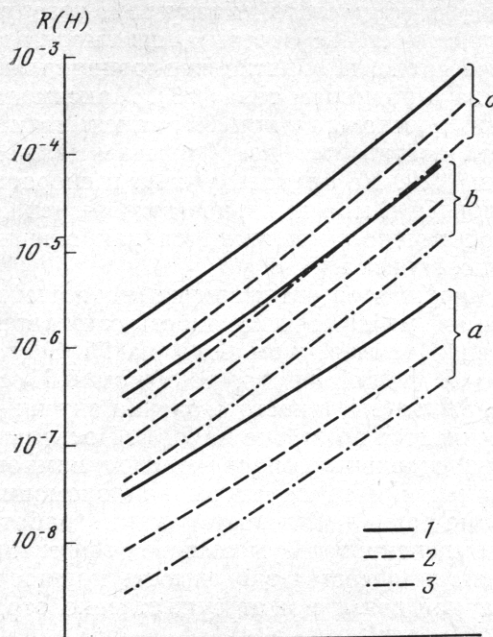


Рис. 1

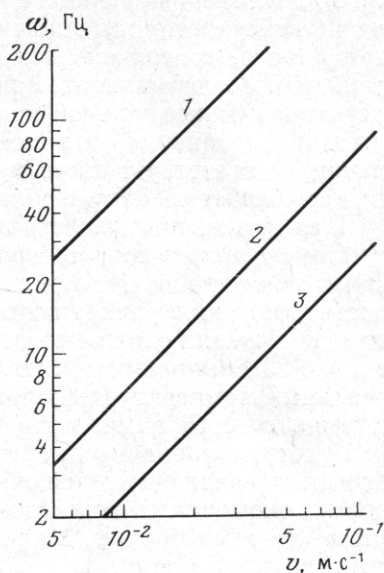


Рис. 3

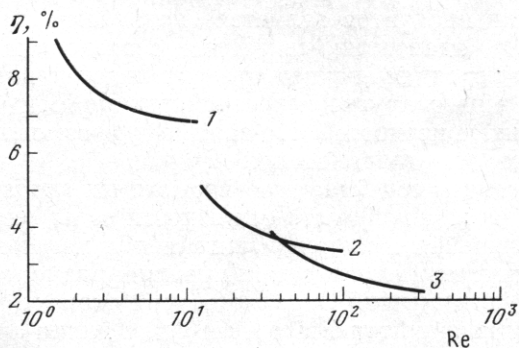


Рис. 2

Рис. 1. Зависимость силы полного гидродинамического сопротивления второй антенны *C. helgolandicus* при рабочем (1) и возвратном (2) движениях, а также тела раков (3) от скорости их движения и размеров  
 $a = 0,044 \text{ см}$ ;  $b = 0,35 \text{ см}$ ;  $c = 1,05 \text{ см}$

Рис. 2. График зависимости гидромеханического коэффициента полезного действия  $\eta$  раков, подобных *C. helgolandicus*, от скорости и размеров тела  
 $1 - 0,044 \text{ см}$ ;  $2 - 0,35 \text{ см}$ ;  $3 - 1,05 \text{ см}$

Рис. 3. Частота биения антенн ( $\omega$ ) в зависимости от скорости движения раков и их размеров  
 $1 - 0,044 \text{ см}$ ;  $2 - 0,35 \text{ см}$ ;  $3 - 1,05 \text{ см}$

установила, что относительная величина ветвей антенн в пределах рода изменяется на 20%, а некоторых опушающих их щетинок на 50%. Причем была выявлена тесная зависимость этих признаков от температуры и вязкости воды. Так, у видов высоких и умеренных широт относительная длина ветвей и щетинок антенн, как правило, оказывалась меньше, чем у тропических видов.

Как известно [4, 16, 23], каждая отдельно взятая мышца (а возможно, и группа мышц) обладает характеристическими параметрами — мак-

симальной скоростью сокращения и максимальной нагрузкой, которую она способна выдержать. Характеристическая скорость мышц выражается показательной функцией от веса тела и обратно пропорциональна длине конечности, она адаптирована к размерам тела [23]. Максимальная работа, совершаемая мышцей, достигается при 0,3 максимальной нагрузки. Максимальная мощность достигается при 0,3 максимальной скорости и максимальной нагрузки [16]. Но поскольку сила и скорость у водных организмов взаимоусловлены, максимальное тяговое усилие мышц соответствует максимальной мощности и является наибольшим при средней температуре обитания организма.

При изменении вязкости воды нарушается оптимальное соотношение между скоростью сокращения и силой мышц и их мощность снижается. Нами подсчитано, что при изменении температуры воды на 25°C скорость движения рака, подобного *C. helgolandicus*, размером 0,35 см при скольжении снижается от 4 до 3,2 см·с<sup>-1</sup>, а частота бienia антенн — с 27 до 23 Гц, при этом мощность снизится примерно на 20%. Поскольку реальный температурный диапазон отдельных видов копепод намного меньше взятого нами, влияние изменения температуры на локомоцию не будет столь значительным. Кроме того, лабильность режима работы антенн, по-видимому, позволяет компенсировать уменьшение эффективности локомоции. К сожалению, нам не известна зависимость мощности мышц от температуры. Наличие такой связи может существенно отразиться на локомоции.

Иначе обстоит дело в случае адаптации организмов к различным температурным зонам, когда падение эффективности функциональных систем на десятки процентов является недопустимым. Как отмечает Вышкварцева [9], адаптации, связанные с вязкостью воды, у кальмаров не ограничиваются изменением относительной длины конечностей, но могут включать еще и другие перестройки, например изменение массы мускулатуры этих конечностей. По-видимому, возможны перестройки в рыбачьей системе конечностей и др.

Чтобы представить себе масштаб возможных адаптивных изменений органов локомоции в зависимости от вязкости воды, рассчитаем возможные изменения линейных размеров антенн при изменении температуры от 25 до 0°C при условии сохранения прежних размеров тела и характеристических свойств мышц. Оказалось, что скорость движения рака размером 0,35 см сохранится около 4 см·с<sup>-1</sup>, а длина антенн уменьшится на 21%, при этом гидродинамический коэффициент полезного действия возрастет в 2 раза — от 2,7 до 5,4%.

Рассмотрим теперь зависимость полного коэффициента полезного действия  $\eta_p$  от скорости и размеров копепод  $L$  и на основании полученных нами значений  $\eta_p$  и литературных данных о биологическом коэффициенте полезного действия. Как известно, последний возрастает при увеличении нагрузки на мышцу и достигает максимума (35%) при 0,3 [4], 0,5 [16] максимальной нагрузки.

Зависимость механической эффективности мышц [4] от нагрузки на участке возрастания  $\eta_p$  можно представить как

$$\eta_p = 0,58 (R/R_0)^{0,38}, \quad (3)$$

где  $R_0$  — максимальная нагрузка, которую выдерживает мышца. Соотношение между режимом движения рака и силой тяги, по нашим данным, описывается уравнением

$$R = 0,007 (Re/8,5)^{1,38}, \quad (4)$$

где  $Re$  — число Рейнольдса тела рака. Подставив (4) в (3), при условии, что максимальная сила тяги  $R$  соответствует 0,3  $R_0$ , получаем

$$\eta_p = 0,36 (v/v_m)^{10,52} \quad (5)$$

где  $v_m$  — максимальная скорость движения ракча. Отсюда зависимость полного коэффициента полезного действия от размеров и скорости движения ракчков с учетом (2) выражается уравнением

$$\eta_p = 0,36 \left( \frac{v}{v_m} \right)^{0,52} \frac{0,01/v + 0,049}{L^{0,35[1-e^{-(1+0,75v)}]}}. \quad (6)$$

По этой формуле было рассчитано, что при возрастании скорости движения, например, в 4 раза, до максимальной величины,  $\eta$  ракча размером 0,044 см увеличится от 1,3 до 2,5%, а ракча размером 1,05 см — от 0,4 до 0,8%.

Таким образом, несмотря на снижение  $\eta_r$  при увеличении скорости общая эффективность скользящего движения копепод возрастает, что вполне согласуется с характером измерения  $\eta_p$  у рыб [10].

## ЛИТЕРАТУРА

1. Алеев Ю. Г. Функциональные основы внешнего строения рыб. М.: Изд-во АН СССР, 1963.
2. Алеев Ю. Г. Нектон. Киев: Наукова думка, 1976.
3. Александр P. Биомеханика. М.: Мир, 1970.
4. Бенхолл Дж. Мышцы, молекулы и движение. М.: Мир, 1970.
5. Бродский К. А. Филогения семейства Calanidae (Copepoda) на основе сравнительно-морфологического анализа признаков.— В кн.: Географическая и сезонная изменчивость морского планктона. Исследования фауны морей, XII (XX), Л.: Наука, 1972, с. 5—110.
6. Виленкин Б. Я., Виленкина М. Н. Дыхание водных беспозвоночных.— Итоги науки и техн. ВИНИТИ АН СССР. Сер. Зоология беспозвоночных, 1979, т. 6.
7. Вышкварцева И. В. Функциональная морфология ротовых конечностей видов Calanus s. l. (Copepoda, Calanoida).— В кн.: Функциональная морфология, рост и развитие беспозвоночных животных морского планктона. Исследования фауны морей XVIII (XXVI). Л.: Наука, 1976, с. 11—69.
8. Вышкварцева И. В. Функциональная морфология ротовых конечностей видов Calanus s. l. (Copepoda, Calanoida) II. Функционирование ротового комплекса и питание каланусов.— В кн.: Экология морского планктона. Исследования фауны морей, XIX (XXVII), Л.: Наука, 1977, с. 5—28.
9. Вышкварцева И. В. Функциональная морфология ротовых конечностей видов Calanus s. l. (Copepoda, Calanoida) III. Морфофункциональные группы видов Calanus s. l. IV. Адаптивные черты строения ротового аппарата каланусов.— В кн.: Морской планктон. Исследования фауны морей XX (XXVIII), Л.: Наука, 1977, с. 96—143.
10. Кляшторин Л. Б. Оценка энергетических затрат на активное плавание и вертикальные миграции у планктонных ракообразных.— Океанология, 1978, т. 18, вып. 1, с. 143—148.
11. Кляшторин Л. Б., Яржомбек А. А. Об энергетических затратах на активное движение у планктонных организмов.— Океанология, 1973, т. 13, вып. 4, с. 697—703.
12. Козлов Л. Ф. Проблемы гидробионики.— Итоги науки и техники ВИНИТИ АН СССР. Сер. Бионика, Биокибернетика, Биоинженерия. Плавание и полет в природе, 1979, № 4.
13. Павлова Е. В., Царева Л. В. Движение Calanus helgolandicus (Claus) по данным киносъемки.— Биология моря. Киев. 1975, вып. 33, с. 64—68.
14. Павлова Е. В., Царева Л. В. Влияние размера сосуда на двигательную активность Calanus helgolandicus и Pleurobrachia rhodopis Chum.— Биология моря, Киев. 1976, вып. 37, с. 61—68.
15. Петина Т. С. О способах движения и захвата пищи у Calanus helgolandicus (Claus).— В кн.: Биология и распределение планктона южных морей. М.: Наука, 1967, 109—124.
16. Прессер Л. Мышцы.— В кн.: Сравнительная физиология животных, т. 3. М.: Мир, 1977, с. 164—286.
17. Светличный Л. С., Загородня Ю. А., Степанов В. Н. Биоэнергетика веслоногого ракча Pseudocalanus elongatus в период миграции.— Биология моря, Владивосток, 1977, № 6, с. 41—49.
18. Светличный Л. С., Степанов В. Н. Энергетика движения морских каланид.— Биология моря. Киев. 1978, вып. 47, с. 59—69.
19. Степанов В. Н., Светличный Л. С. Результаты исследования на моделях гидродинамического сопротивления некоторых видов Copepoda.— Биология моря. Киев, 1976, вып. 39, с. 42—46.
20. Cannon H. G. On the Feeding Mechanisms of the Copepods, Calanus finmarchicus and Diaptomus gracilis. Brit.— J. Exptl Biol., London, 1928, v. 6, p. 131—144.

21. Cannon H. G., Manton S. M. On the Feeding mechanism of a mysid crustacean, *Hemimysis lamornae*.—Trans. Roy. Soc., 1926, v. 55, N 1 (10), p. 219—253.
22. Gauld D. T. The swimming and feeding of planktonic copepods.—Some Cont. Stud. Mar. Sci., London, 1966, p. 313—334.
23. Hill A. V. Dimensions of animals and muscle dynamics.—Sci. Prog., 1950, v. 38, p. 209—230.
24. Lowndes A. G. The Swimming and feeding of certain Calanoid Copepods.—Trans. Roy. Soc., 1935, v. 3, p. 687—715.
25. Urry D. L. Studies on the food, feeding and Survival of *Pseudocalanus elongatus* Boeck under laboratory conditions with observations on other genera of Copepoda. Ph. D. Thesis, University of London, 1964.

Институт биологии южных морей  
АН УССР, Севастополь

Поступила в редакцию  
4.II.1980

---

L. S. SVETLICHNY & B. V. KURBATOV

**LOCOMOTION EFFICIENCY OF COPEPODS IN THEIR MOTION  
WITH THE AID OF ANTENNAE**

The dependence of the resistance force of *Calanus helgolandicus* antenna on the angular velocity in forward and backward motions is studied. A dependence has been obtained of the hydromechanical efficiency  $\eta_T$  on velocity, relative sizes of the antenna and water viscosity. As velocity and sizes of copepods grow,  $\eta_T$  decreases. The range of  $\eta_T$  variations for probable motion conditions of copepods approximates 2—9%. Calculations have been made of total efficiency  $\eta_H$  which grows as velocity increases, despite a decrease of  $\eta_T$ . For a 0.35 cm copepod at a fourfold increase of velocity from 0.25 of its maximum value,  $\eta_H$  grows from 0.13 to 1.2%.

---